

渦と交番流の相乗効果による縦分散に関する研究

滋賀県 企画部 正員 大西 行雄  
 大阪市 正員 吉松 慶公  
 京都大学 防災研究所 正員 村本 嘉雄

1. まえがき：潮流流が卓越し、水平地形の影響で残差流が形成されるような沿岸水域における物質分散現象に関して、著者ら<sup>(1,2)</sup>は、潮流流(交番流)と渦が二次的に形成する残差流(渦流)の相乗効果の重要性を、数値モデル実験(渦-交番流モデル)によって主張してきた。本報告は、交番流水槽での実験結果から交番流強度と渦流強度の関係を検討するとともに、縦分散現象に対する渦-交番流モデルの適用性を検討したものである。

2. 水槽実験：アクリル製水槽(幅 $W=20\text{cm}$ , 全長 $2\text{m}$ )に非越流型の水制を間隔 $L=20\text{cm}$ で、両側壁に交互に設置し、水深 $H=10\text{cm}$ を一定に保ちながら、周期 $T$ 、半周期儀分流量 $V$ の交番流をピストンによって発生させた。水制長さは $\delta = \frac{1}{4}W$ (ケースI),  $\delta = \frac{1}{2}W$ (ケースII),  $\delta = \frac{3}{4}W$ (ケースIII)の3ケースを考え、 $V$ と $T$ の幾つかの組み合わせについて、流速分布測定とローダミン染料拡散実験を行った。流速分布測定は、浮子の写真撮影によって行い、一周期につき12位相の流速分布を時間平均して渦流(残差流)分布とした。拡散実験は瞬間点源投入した染料の濃度分布を水槽の54地点で同時採水し、その結果からルーチン法によって分散係数を求めた。実験条件および結果は下のようは無次元表示され、表-1に示されている。

表-1 実験条件および結果

Run No.	$\lambda$	$\beta$	$\gamma$	$\alpha$	$Re(u)$	$\beta$	$\beta$	$\beta$	$\beta$
(1)	(2)	(3)	(4)	(5)	(6)	(7)	(8)	(9)	(10)
I-01	1.54	122.2	2.72	0.791	530.	2.97	0.192	0.540	
I-11	0.121	120.4	0.598	1.021	125.	0.206	0.9150	0.921	
I-12	0.490	121.6	0.603	0.205	413.	0.854	0.3375	0.750	
I-13	0.496	121.4	2.48	0.252	514.	1.13	0.9621	0.151	
I-14	0.739	122.2	4.70	0.433	968.	1.92	0.157	0.182	
I-15	1.26	122.2	6.30	0.647	1290.	2.45	0.232	0.370	
I-16	1.06	122.2	9.30	0.356	1910.	3.46	0.222	0.365	
I-17	1.27	122.2	10.07	0.124	2220.	3.75	0.222	0.365	
I-21	1.56	60.2	7.02	1.63	3250.	3.41	0.196	0.242	
I-22	1.57	79.8	7.04	1.24	2470.	3.72	0.196	0.242	
I-23	1.56	99.8	7.06	0.960	1960.	4.00	0.194	0.236	
I-24	1.56	140.3	7.70	0.695	1390.	2.66	0.174	0.262	
I-25	1.56	160.7	7.70	0.607	1700.	2.89	0.157	0.194	
I-31	0.199	121.4	0.295	0.103	206.	—	0.3219	0.233	
I-32	0.308	119.5	1.57	0.161	321.	—	0.2293	0.282	
II-01	0.779	122.8	4.03	2.249	499.	1.37	0.172	0.233	
II-11	0.254	122.0	1.23	0.0660	132.	0.628	0.930	0.916	
II-12	0.492	122.8	2.41	0.121	246.	2.39	0.2602	0.350	
II-13	1.17	121.6	7.26	0.374	747.	2.12	0.182	0.242	
II-14	1.93	122.1	9.69	0.438	995.	2.91	0.242	0.278	
II-15	2.91	122.6	14.6	0.570	1510.	4.72	0.196	0.242	
II-16	3.81	121.8	19.2	0.992	1980.	4.80	0.487	0.212	
II-21	0.960	79.8	4.78	0.375	752.	1.61	0.114	—	
II-22	0.925	140.7	6.80	0.218	435.	1.38	0.122	—	
II-23	0.975	159.2	4.48	0.192	385.	1.29	0.122	—	
II-24	0.965	203.4	4.95	0.151	301.	1.37	0.122	—	
III-01	0.779	122.8	3.03	0.124	252.	0.243	0.2917	0.2162	
III-11	0.254	122.8	1.27	0.0412	86.5	0.141	0.9377	0.9156	
III-12	0.365	121.9	1.83	0.0629	126.	0.268	0.9457	0.9173	
III-13	1.17	121.6	6.40	0.139	378.	0.131	0.137	0.2302	
III-14	1.45	120.7	7.31	0.252	507.	0.592	0.193	0.2423	
III-15	2.18	120.3	11.0	0.362	753.	0.700	0.276	0.104	
III-16	2.91	119.4	14.5	0.570	1020.	1.15	0.304	0.169	
III-21	0.734	60.5	3.67	0.254	500.	0.304	0.2917	0.2222	
III-22	0.725	90.0	3.65	0.172	354.	0.252	0.2915	0.2374	
III-23	0.734	139.5	4.73	0.142	234.	0.191	0.2931	0.2236	
III-24	0.724	159.7	5.73	0.0872	194.	0.156	0.2927	0.2278	
III-25	0.734	203.3	3.62	0.0759	132.	0.195	0.2923	0.2263	
III-31	1.82	120.6	6.20	0.216	632.	—	0.280	0.2558	
III-32	1.34	121.1	9.47	0.231	860.	—	0.311	0.165	
III-41	0.743	99.5	2.40	0.159	313.	—	0.2929	0.2351	
III-42	0.743	125.9	2.74	0.2694	139.	—	0.2513	0.2212	

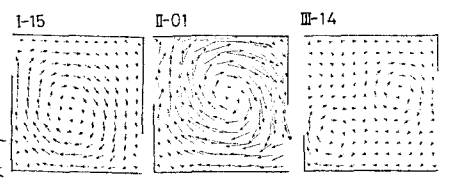


図-1 残差渦流の流速分布図

交番流強度  $B = \lambda/2L$  ( $\lambda = V/WH$ )  
 渦流強度  $A = 2\sqrt{E_p^* T/L}$  ( $E_p^*$  = 渦流の空間平均運動エネルギー)  
 分散係数  $D_m = D_m^* T/L$  ( $D_m^*$  = 次元付分散係数)  
 レイノルズ数  $Re(u) = uW/\nu$  ( $u = \pi V/TH(W-\delta)$ ,  $\nu = 0.01\text{cm}^2/\text{sec}$ )

渦流の流速分布の例を2つの水制に挟まれたIブロックにおいて図-1に示す。ケースIとIIでは各ブロックに1個の渦流が、ケースIIIでは各ブロックに2個の逆回転の渦流が形成されている。どのケースでも隣接するブロックには、同様の、しかし逆回転の渦流が形成されている。

水槽実験の結果から、AとBの関係を図-2、 $D_m$ とBの関係を図-3に示す。図-2が

ら、AはBにほぼ比例することが見られる。同一のBに対するAの値は、ケースI、IIに比べて、ケースIIIは小さいが、これは図-1に見られるような渦流形状の違いのためであろう。

3. 数値実験(渦-交番流モデル)：このモデルは、交番流Bと渦流Aの相乗効果による縦分散係数 $D_z$ を検討すべく、AあるいはBの単独では $D_z$ が0になるような流況を仮定して、乱れ拡散を含まないで、水粒子のラグランジ運動を解析したものである<sup>3)</sup>。その結果からAをパラメータにして、 $D_z/B$ とA/Bの関係を図-4に示す。結果はばらばらしているが、検討したA、Bの範囲では、 $D_z$ は図中に示した回帰式  $D_z/B = 0.015(A/B)^2$  ( $A/B \leq 4.17A^{1.235}$ )、 $D_z/B = 0.26A^{2.47}$  ( $A/B > 4.17A^{1.235}$ ) に従うとしてよいであろう。

渦-交番流モデルから得られたこの回帰式と、水槽実験で得られたAとBの力学的関係(図-2)とを組み合わせると、 $D_z$ とBの関係を推定したのが、図-3の影の部分である。Bが大きい範囲では $D_z$ はBに比例し、Bの小さい範囲では $D_z$ はBの約3.5乗に比例する。

図-3で、渦-交番流モデルと水槽実験結果とを比較すると、ケースI、IIでは、分散係数の大きさや、そのBに対する依存性についてモデルは、水槽実験結果をよく説明している。ただし、 $B < 0.1$ の範囲ではモデルは過小評価の傾向であるが、これはモデルに含まれていない乱れ拡散の効果が交番流の効果を卓越するためと考えられる。一方、ケースIIIではモデルは全体的に過小評価となる。その点に関して、ここでは紙面の関係で示せないが、水槽実験と数値モデルのそれぞれの拡散パターンの比較によっても、ケースI、IIについてはモデルと水槽との対応がよく、ケースIIIについてはそうでないことがわかった。ケースIは、半閉鎖型の水域が海峡を通じて連絡された瀬戸内海型の沿岸水域のモデルであり、ケースIIは、側壁に凹凸のある感潮水路のモデルであると考えてよいであろう。渦-交番流モデルは水側長が水槽幅の半分以上である前者に対して適当である。結論として、同じ流量の交番流が与えられたときには、半閉鎖型の前者の方が大きな縦分散係数を持つこと(図-3)は重要であるが、このことは渦と交番流の相乗効果によって説明されると言えよう。

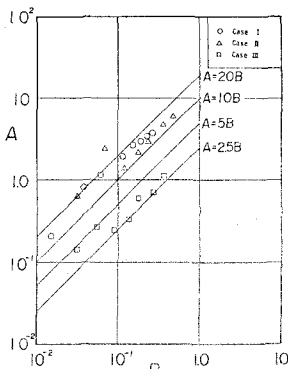


図-2 AとBの関係

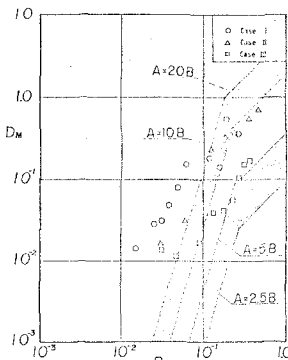


図-3  $D_m$ とBの関係

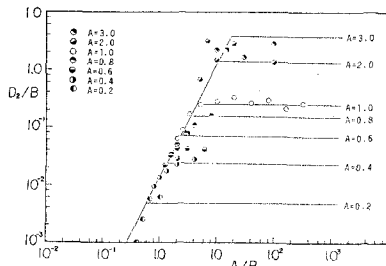


図-4  $D_z/B$ とA/Bの関係

### 参考文献

- 1) Oonishi, Kunishi: Jour. Oceanogr. Soc. Japan, Vol 35, 1979.
- 2) 大西・國司・吉松・秋友: 京都大学防災研究所年報, 第23号B, 1980.